

## 抄 錄

### 一銑鐵及鐵合金の製造—

#### **CaO-MgO-Al<sub>2</sub>O<sub>3</sub>-SiO<sub>2</sub> 系の凝固開始温度から推定される溶鉱炉スラッグの最適組成**

(E. F. Osborn, R. C. De Vries, K. H. Gee, & H. M. Kraner: J. of Metals 6 (1954) 1, 133)

溶鉱炉スラッグは基本系として CaO-MgO-Al<sub>2</sub>O<sub>3</sub>-SiO<sub>2</sub> 系からなり、外に MnO, FeO 等も含まれるがその量の少ない時にはスラッグの性質に大きな変化はない。

CaCO<sub>3</sub>, MgO, Al<sub>2</sub>O<sub>3</sub>, SiO<sub>2</sub> の純粹粉末を混合し白金坩堝で溶解、急冷した合成スラッグを粉碎、約 1000°C に加熱して充分に結晶化させた後、その 20mg を加熱溶解して平衡に達せしめた時に Hg 中に急冷する。こうして得た試料を顕微鏡組織と X 線分析とによってその組織の凝固開始温度（以下 m.p. と略記する）を決定した。スラッグは Al<sub>2</sub>O<sub>3</sub> について 5% から 35% まで 5% おきに非常に広範な組成に配合し 446 ケの試料を実験に供した。この結果 Al<sub>2</sub>O<sub>3</sub> を一定とした CaO-MgO-SiO<sub>2</sub> 三角面上に等 m.p. 線を与えていた。この系の特徴は、高融点の 2CaO·SiO<sub>2</sub>, MgO によって惹起される急激な m.p. 上昇を呈する分野にかこまれた低 m.p. の melite, merwinite, monoticellite を初晶とする平坦な分野 (Platean Region) の存在する事である。溶鉱炉スラッグはこの分野になければならない。スラッグ組成が多少動いても完全に溶融状態を保つているからである。溶鉱炉スラッグの組成を相当広く変化できるのもこの分野の存するためである。

1. 脱硫能—MgO, CaO は濃度を wt.% で示せば同等の脱硫能を持つ。そこで Al<sub>2</sub>O<sub>3</sub> 一定の時には等 m.p. 線上で %SiO<sub>2</sub> の最少の組成が脱硫能が最大になる訳である。Hoolbrook 等の Al<sub>2</sub>O<sub>3</sub>=10%, 1,500°C における種々組成の (S)/[S] をプロットしてみると、上に述べた点に相当する組成と (S)/[S] 最大の点は大体近い値を示すが一致はしない。それは溶鉱炉スラッグには MnO, FeO が存在するためである。この点より SiO<sub>2</sub> rich 側では等 (S)/[S] 線は等 m.p. 線に平行している。又 SiO<sub>2</sub> less 側では (S)/[S] は急減しているがこれは固相析出に伴い、溶液量の減少と組成が SiO<sub>2</sub> rich 側に変るためである。

2. 粘性—珪酸塩の粘性は SiO<sub>2</sub> の重合度によつて支配されるのであり Si<sup>4+</sup>/O<sup>2-</sup> の大きな程粘性は大きくなる。Al<sub>2</sub>O<sub>3</sub> も同様の作用が考えられている。結局 Al<sub>2</sub>O<sub>3</sub> 一定の時には Si<sup>4+</sup> 量の最小の時粘性は最小となり脱硫能最大の時の組成に一致する。

以上の考察によつて溶鉱炉スラッグの最適組成は、Al<sub>2</sub>O<sub>3</sub> 5~35% の間で決定されるがその一例を示す。

Al <sub>2</sub> O <sub>3</sub>	CaO	MgO	SiO <sub>2</sub> (但し wt.%)
10	44	14	32
15	44	12.5	28.5
20	45	11	24

通常の操業では溶鉱炉スラッグの Al<sub>2</sub>O<sub>3</sub> は 8~15% であるが、この範囲では MgO : 14%, CaO : 44% を中心としてそれらの組成の若干の変化はスラッグの性質に影響ないし、Al<sub>2</sub>O<sub>3</sub> の量に対して他の成分の組成が調節されれば Al<sub>2</sub>O<sub>3</sub> 量自体は大した効果を持たない。又スラッグの塩基度は CaO と MgO, SiO<sub>2</sub> と Al<sub>2</sub>O<sub>3</sub> がその性質に及ぼす影響が同等であるから (CaO+MgO)/(SiO<sub>2</sub>+Al<sub>2</sub>O<sub>3</sub>) で表わされるべきである。なお MnO, FeO の存在はスラッグの m.p. を 100°C のオーダーで低下せしめる。（新実生）

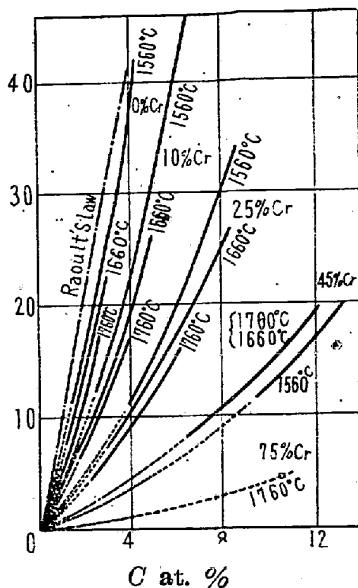
### —鋼及鍊鐵の製造—

#### **溶鐵中の C の活量に対する Cr の影響**

(F. D. Richardson & W. E. Dennis: J. Iron & Steel Inst 175 (1953), 257)

この報告は既に発表された Fe-C 2 元系溶液についての  $a_c$  の研究 (Discuss. Faraday Soc. 49 (1953), 2, p. 171 抄録本誌 39, II) を引き続き、Cr<sub>r</sub> を加えた Fe-C-C<sub>r</sub> 3 元系溶液に拡張したものである。実験方法は前と同様で、実験温度は 1560°C, 1660°C, 1760°C。 $(p_{CO})^2/p_{CO_2}$  は 200/1~800/1 Cr% は 10~75 wt.% に亘つて研究されている。実験後数% の Cr<sub>r</sub> 損失が認められ、又 N<sub>2</sub> の影響についても検討を加え、それ等が実験誤差の範囲内にある事を示してある。

$a_c$  の導出は前と同様  $(p_{CO})^2/p_{CO_2} = K \cdot a_c$  より行つており、その結果は図の如くなつてゐる。こゝで著しい点は、 $a_c$  が Cr% の増加によつて非常に小さくなる事、温度によつてはわずかしか変化しない事であり、特に Cr: 45% では  $a_c$  と温度の関係は、より低 Cr の場合



と逆になつてゐる。本図からも推測されるが、 $C$  の活量係数  $r_c$  と  $C$  at% の関係が  $C_r\%$  によって大きく影響される事を図示してある。

更に  $\Delta \bar{H}$  の値を  $\log a_c - 1/T$  図より与えている。

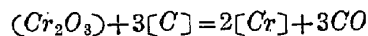
$\Delta \bar{H} \text{ K-Cal}$	$C \text{ at \%}$	$C_r \%$
+6.4 ± 2.0	0 ~ 2.5	~ 23
+8.0 ± 3.0	3 ~ 6	10 ~ 23
-5.3 ± 3.0	10	45

これらの実験結果を  $Fe-C$  系のそれと比較し、 $C_r$  が  $C$  の活量を著しく低下せしめるのは、クラスター形成によるものであろうと考察している。(新実験生)

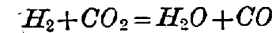
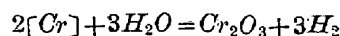
**Fe-C-Cr 系溶液の脱炭平衡** (W. E. Dennis & F. D. Richardson: J. Iron & Steel Inst. 175 (1953) 264)

クロム酸化物飽和の条件下で溶鉄中の  $C-Cr$  の関係を調べた Hilty の研究

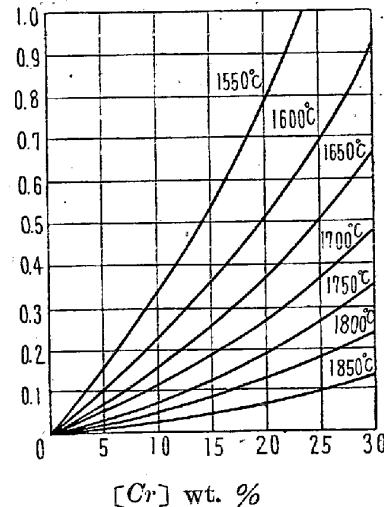
$(CrO) + [C] = [Cr] + CO \quad K_1 = [\%Cr]/[\%C]$ , 1711 ~ 1826°Cにおいて、 $[Cr]$  に関係なく  $r_c = 1$  とおいた事を著者の実験事実より批判し、又クロム酸化物を  $CrO$  と仮定した事も二、三の文献と矛盾する処から上の反応式を書き換えて



$K_2 = (a_{[Cr]})^2 / (a_{[C]})^3 = (r_c [Cr] [\%Cr])^2 / (r_c [C] [\%C])^3$ なる反応について、 $(Cr_2O_3)$  飽和の条件の下に、溶鉄中の  $C-Cr$  の関係を調べている。 $r_c$  の計算に必要になるデータ、 $Cr_2O_3$  (固態) と種々の  $[\%Cr]$  と平衡する  $p_{CO}/p_{CO_2}$  の値としては Chen & Chipman の研究した平衡式と水性ガス反応式



を組合せて導出されてゐる。こゝで取扱つてゐるような高  $Cr$  溶鉄の脱炭に相当する組成  $Cr \text{ at \%}/C \text{ at \%} = 5/1$  より  $C$  の低い濃度の溶鉄に対して  $r_c$  への  $C$  の影響は無視出来る。かくして著者の  $Fe-Cr-C$  系溶液における  $a_c$  の研究のために行つた実験データを基にして次の図を与えている。



結局、できるだけ  $Cr$  損失を小にして脱炭を図るには

(1) スラッグ量を減少せしめる事及び  $Cr_2O_3$  の溶解度の小なるスラッグを用いる事。

(2) 高温度操業を行う事。

(3)  $CO$ ,  $CO_2$  の分圧の小さい事。 $a_c \alpha p^2_{CO}/p_{CO_2}$  であるからガスの全圧に影響されるが、 $a_c \alpha p_{CO}/p_{CO_2}$  であるから全圧力には関らない。

(4) 溶鉄中に共存する元素は、 $a_c$  を高め  $a_{Cr}$  を減少せしめる性質を有する事。

の 4 条件が望まれる。(新実験生)

### 溶鐵—塩基性スラッグ間の Cr の分配

(N. T. Grant, E. C. Roberts & J. Chipman: J. of Metals 6 (1954), 2, 145)

塩基性スラッグと溶鉄間の Cr の挙動に関しては、現場操業から二、三の結論が得られているのみで、それすら諸説一致を見ない状態である。そこで本研究は含 Cr スラッグと溶鉄とを反応せしめて Cr の分配平衡を摺み更にスラッグ中における Cr の挙動を確めようとするものである。

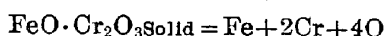
スラッグは  $CaO \cdot (MgO) \cdot SiO_2 \cdot FeO \cdot Cr_2O_3$  系 ( $FeO \text{ \%}: 10 \sim 65$ ,  $Cr_2O_3 \text{ \%}: 2 \sim 20$ ) の広範囲の組成のものを合成し、メタルは  $C\%: 0.010$ ,  $Cr\%: 0.032 \sim 0.82$  で、 $1526 \sim 1734^\circ C$  の温度でそれぞれ 30 分保つて 12 シリーズの溶解を行い、スラッグ中の Cr の挙動を知る目安

するためにSを添加して更に4シリーズの溶解を行つた。なお前の溶解で含Crスラッグは反応速度が遅く、保持時間が短かすぎる事が判つたので、後の溶解は1時間保持した。

溶解後、試料の顕微鏡組織を見ると、メタルでは球状のウスタイトと、角状のクロマイトが介在物として認められ、クロマイトはウスタイト中に析出している事もある。スラッグでもクロマイトが角状にウスタイト地中に析出しているのが認められた。

$\text{Cr}_2\text{O}_3$  がスラッグ中にて塩基として働くか、酸として働くかを決るには、 $(\text{S})/[\text{S}]$  を目安にすればよい。今  $\text{Cr}_2\text{O}_3$  を酸、中性、塩基と仮定し、その強さも考慮に入れてそれぞれの“excess base”を求め、 $(\text{S})/[\text{S}]$  との関係を調べる。その中から Grant & Chipman の与えている “desulphurization standard line” と比較して見て、最もよい一致を与える仮定が採り上げられる。その結果  $\text{Cr}_2\text{O}_3$  は  $2\text{CaO}$  に相当するという仮定が採られたので  $\text{Cr}_2\text{O}_3$  が塩基として働くという事が判つた。

Crの平衡状態に関して次式が与えられる。



$$K' = [\% \text{Cr}]^2 [\% \text{O}]^4$$

$$\log K' = -49,000/T + 20.6$$

$\log K' - 1/T$  の関係に対してデータのバラツキが小さい事と、この場合の  $\underline{\text{Cr}}\% - \underline{\text{O}}\%$  の関係が Chen & Chipman の結果とよく一致している事は、スラッグがクロマイトで飽和されている証明になる。クロマイトの溶解度は  $V(\% \text{CaO}/\% \text{SiO}_2) : 1.5 \sim 2.0$  で  $2.0 \sim 5.0\% (\text{Cr}_2\text{O}_3$  として) である。このような条件下では  $\underline{\text{Cr}}\%$  は  $0\%$  と温度によつてコントロールされ、 $(\text{Cr})/[\text{Cr}]$  は影響しない事になり、 $\underline{\text{Cr}}\%$  と  $(\text{FeO})\%$  の関係を見ると、 $\underline{\text{Cr}}\%$  は  $(\text{FeO})\%$  によつて大きく影響される。 $(\text{FeO})$  が  $30\%$  までは  $(\text{FeO})\%$  の増加につれて  $\underline{\text{Cr}}\%$  は急減するが、 $(\text{FeO}) > 30\%$  になると、 $(\text{FeO})\%$  の増加による影響は殆んど見られなくなる。温度も大きな影響を持ち、高温度  $\underline{\text{Cr}}\%$  は大きくなる。塩基度の効果は認める事が出来ず小さいものと考えられる。結局 Cr の回収率は  $\underline{\text{Cr}} < 1\%$  の条件下では  $(\text{FeO})\%$  の低い程、温度の高い程よくなり、塩基度はあまり問題にならない。

(新実穀生)

## — 鐵及鋼の鑄造 —

スイスの近代的鑄物工場設備 (Victor Frey: Foundry, Jan. 1954, 104)

スイスの Eshew Wyss 会社の支配人である筆者は自

工場の二、三年前に完了した総て自動的に行う近代的な鑄物工場の設備に就て次の如く紹介している。

この工場では鼠鉄、延性鉄及び非鉄金属鑄物を製造していて、この新設備によつて明るい換気のよい作業条件の理想的な工場となり現在では製品範囲も拡大している様な状態である。この設備の近代化には鑄物作業に重大な役割を果している砂の最も理想的な整備と言うことに集中して行つた。即ち全長 1 哩にも亘るコンベヤーベルトによつて砂の交換運搬をはかり、信号装置、電話設備等の完全を期して全作業の安全な遂行をはかつたのである。

先ず工場に車で運ばれた新しい砂はコンベヤベルトで砂置場に運ばれ、更に種々のコンベヤで砂箱迄搬入される。これらのコンベヤベルトはバケットチエインとコンペイシングスクリューの二種を採用しそれらの途上には乾燥用、篩用の各ドラムを設置し砂の塊はハンマーで碎かれ所要の大きさに篩をかけて再度繰返される様になつてゐる。塵埃の除かれた砂は粘土と混じ地下のコンベヤベルトに運ばれここで保存と検査に適する様にしてある。大中、小型鑄物工場からの古砂はホッパーを通り電磁石の上を通過して加熱されたミルハンマーで碎かれ、レシプロケーター (reciprocator) で冷却され第二のマグネットドラムで鉄の僅かな痕跡も除去される。斯くしてバケットエレベーターで砂準備工場の頂上部に運ばれる。この砂準備工場で用意される砂は、生砂、乾燥砂、中子砂の 3 種類である。古砂は一応含水装置其の他で適当に処理されコンベヤベルトで工場の上部に設けられた箱に運ばれる。斯くして新古の砂がミクサー上の箱の中に混合準備用として貯蔵される。種々の砂の混合はこれ等の箱の上に設置してある移動型測定用ホッパーに依つて行われる。混合の為の水分と時間の調節は総て自動的コントロールデスクでなされる。而して砂の実験室では毎日混合の検査が厳格に行われている事は特記すべき事とされている。砂混合の準備されたものは生砂と乾燥砂とが別々にコンベヤで鑄物工場に運ばれる。砂準備工場のスイッチ盤では以上のコンベヤによる運搬組織を調節出来る様になつてボタンを押すことで示される電燈の色等から運搬されている砂の種類、量、場所等を一瞬にして知る事が出来る様になつてゐる。この装置によつて古砂を返却した工場に夫々要求する砂を送ることが出来るわけである。この砂を送られた大、中、小型の鑄物工場では何れも自動的な鋳型機械で造型されている。造型の乾燥には電気的に加熱された空気や大量の吹付空気で能率的に行われている。鑄造にはローラコンベヤにより吊下げ

られた取鍋が使用されている。砂落しは高圧のジェット水 (1500Psi) で行われ、洗い落された砂は何れも床下の振動篩を通して砂洗浄工場に運ばれ泥土、塵埃等が除かれてから水分は Easher タイプの遠心分離装置で 3% に迄減ぜられ再び砂準備工場に運ばれる様になつてゐる。(谷 昌博)

## 一 鐵及鋼の加工 一

### 鋼の表面上の磷酸被覆について

(H. A. Holden: Metallurgia, Vol 48, No. 286 (1953) 71)

鋼の表面に磷酸被覆を附着させる Coslett 方法が発明されて、今や 50 年を経過する。それ以来可成の発展が行われ、磷酸塩被覆の附着に数種の溶液が現在利用されている。本稿において著者は被覆の種類とその耐蝕性、耐摩耗性及び冷間加工の潤滑性について記述している。一般的に耐蝕性の磷酸塩被覆を作る方法は大雑把に次の 3 つに類別し得る。(a) 主としてオルソ磷酸 ( $H_3PO_4$ ) を主成分とする溶液を用いる方法、(b) 従来の磷酸塩被覆を作る方法では  $Fe^{++}$ ,  $Zn^{++}$ ,  $Mn^{++}$  の如き重金属の磷酸塩を含有する溶液を用い、この被覆の膜は灰白色を呈する。(c) アルカリ金属或いはアンモニウム磷酸塩を用いる "non-coating" 或いは "light weight" と呼ばれる方法では非常に僅かな約 50~100mg/ft<sup>2</sup> 位の重量増加しか示さない、非常に薄い磷酸鉄の被覆を作ることが出来る。

磷酸塩被覆の重要な用途の一つはむり摩耗を受ける部品に耐摩耗性被覆を附着させることである。この場合に Fe-Mn の磷酸被覆をつけると非常に良い結果が得られる。実際に使用する場合には一般に油、グリース、モリブデン、デイサルファイドを潤滑剤として使用する。これは自動車会社で盛んに利用され、自動車の変速装置、伝達装置の部品に活用されている。その代表的な応用例としてピストン、リング、シリンダー・ライナー、ピストン、クランクシャフト、変速ギヤー、軸受レース等である。冷間加工に用いる磷酸被覆は英國では過去 20 年來亜鉛の磷酸塩被覆を使用して新機軸を果して来た。一般に引抜鋼管にこの磷酸塩被覆が用いられる。米国や独乙でも熔接鋼管の引抜や孔径の縮少には盛んに活用される。6 年前頃から英國では亜鉛の磷酸被覆を乾式と湿式の線引の際の潤滑剤として利用する様になつた。この方法は特殊の断面を持つた線引には非常に有利であり、一回における断面圧縮が多くなり且又線引の際の動力が節約される。次に冷間押出しの際にも潤滑剤として磷酸塩

被覆が用いられる。鋼の冷間押出は 1935 年に始めて成功し、第 2 次大戦中独乙で盛に活用された。米国政府は 1946 年になつて調査を開始し、1953 年の 5 月に最初の計画が実施された。独乙ではこの方法は主として鋼の薬莢と砲弾の冷間押出しの際の潤滑に用いられた。米国も砲弾の冷間押出しに活用せんとしている。冷間押出しの特徴は第 1 番目として材料の節約、例えば此の方法で 105mm の砲弾を生産すると従来の方法に比して約 40% の節約となる。第 2 番目として機械加工の必要がない、第 3 番目として冷間押出しにより低炭素マンガン鋼に必要な物理的性質をあたえることが出来る、第 4 番目には表面の仕上がり良好である。この様な冷間押出の如き重作業の場合には Zn の磷酸塩被覆を少なくとも 1gr/ft<sup>2</sup> 以上附着させて、更に他の潤滑剤を合せ用うべきである。

(上野 学)

### 浸漬アルミニウムメッキ (M. L. Hyghe & D. P. Moses: Metallurgia, Vol 48, No. 287 (1953) 105)

本稿に浸漬アルミニウム・メッキ方法及びそのメッキ層の性質について今までの文献をまとめて報告し、且又英國鉄鋼調査研究会で研究調査された報告をも記述してある。そして此の調査研究によりアルミメッキ前の予備処理が非常に簡単となつた。次に従来のメッキ方法と連続メッキ方法についての工程図を合せて図示してある。程後に此の方法及びメッキ層の利点と欠点を列挙している。1932 年~33 年以来 A.S.T.M. によって実施された試験によると浸漬アルミニウム・メッキは同じ厚さの亜鉛メッキよりも良い耐蝕性を示し、且アルミ・メッキ層の 2 倍の厚さの亜鉛メッキの耐蝕性に匹敵する。最近冷間広巾帶鋼に連続的にアルミ・メッキを浸漬により附着させることが出来る様になり、そのメッキ層は耐蝕性と耐熱性を兼備している。(Armco-Aluminised Sheet と呼ばれている。) 米国では Sendzimir hot galvanising 装置が帶鋼に連続的に浸漬法によりアルミニウム・メッキをつけるためにアームコ会社に設置された。この方法は冷間帶鋼を予め少し酸化させて干渉色の被覆を着けて次にクラッキングしたアンモニウム中の霧囲気中で焼鈍して、更にアンモニア霧囲気で覆われている熔融したアルミニウムの槽に浸漬してアルミ・メッキを附着させるのである。此の他に連続アルミ・メッキ方法の特許として Alferieff Process がある。多くの点でこの方法は前者と類似しているが、後者は予備処理の際或る程度脱炭させるために高温焼鈍炉中に水蒸気を送るのが相異する点である。次に浸漬アルミ・メッキ方法の利点と欠点

を列挙すると

- A) 浸漬アルミ・メッキ法の利点としては  
 (1) 焼鈍操業とメッキ操業が同一装置で可能となり、明らかに経済的である。 (2) 亜鉛浸漬メッキの場合に比して薄い被覆を着けるための最後の仕上ロールを必要とせず簡単である。 (3) 浸漬槽中の浮きが少い。 (4) 浸漬槽における ash の形成が少い。

B) 浸漬アルミ・メッキ法の欠点としては比較的高温で操業を実施するので次の如き不利な点がある。

- (1) 浸漬亜鉛メッキよりも浸漬アルミ・メッキの方が作業者に不快の感を与える。 (2) 燃料費が高くなる。 (3) 冷間加工した高抗張力鋼板が殆んど完全に焼鈍される。 (4) 浸漬アルミ・メッキ鋼板の機械的性質が低下する。 (5) 作業中に過剰の引張応力がかり板の厚みが薄くなるので、時折り途中で帶鋼が被損切斷する。 (6) この浸漬アルミ・メッキの装置のタンク及び窓枠等に及ぼす変形の程度は亜鉛メッキの操業の場合よりも甚しい。 (7) 容器に対する最適の材料及び寿命が大切な問題となつて来る。 (8) 槽の表面に生ずる酸化被覆はメッキ層を不完全にさせる困難な原因となる。 (9) 槽中に Si を添加するときにのみ被覆の厚さを任意に加減することが出来る。 (10) 或る条件のもとではメッキ層は湿気を帯びる傾向があり、合金層があらわれて、メッキ層の厚さが 1/2 mil 以下になることがある。(上野 学)

#### 英國の金属工業の發達に就て (Tom Bishop: Metal Progress, Jan. (1954) 101)

著者は英國金属工業の製造面並にその応用部門に於ける最近の趨勢に就て次の如く概述している。

先づ新合金として Sheffield の United steel 会社では B で強化された高抗張力の C-Mo 鋼の製造と充分な活用に腐心し、Samuel Fox 会社では "Fortweld" (0.12% C, 0.5% Mn, 0.2% Si, 0.5% Mo, 0.002% B) の商名で Mo-B 鋼を市場に出している。更にこの Mo-B 鋼の研究に基盤を置いて航空用ジェットエンジン、特殊用鋼管橋梁用材料迄も製作している。又 Henry Wiggins 会社では高 Ni 合金として Nimonic 95 の製造も開始しガスターピンブレード等に應用されている。 "Nimoly 75" の商名ある材料は Nimonic 75 のシートの間に銅の圧延材をはさんだメタルサンドイッチでガスターピン以外の高熱機関にも使用されている。更に "Corronel B" (66% Ni, 28% Mo, 6% Fe) は高温では低炭素鋼より硬いが充分な加工が行われ鉄酸に対して強力な抵抗性を持つている。表は Nimonic 95 の高温性質を示す。

次に非鉄合金としては Ni-Ag 合金又はホワイトメタ

温 度		破 壊 歪 100hr	最小伸び値 100hr.
°C	°F		
750	1·380	49·500 Psi	0·002~0·005 伸% / hr.
815	1·500	31·500 "	0·002~0·005 "
870	1·600	20·000 "	0·002~0·005 "
900	1·650	14·500 "	0·005~0·01 "
925	1·700	11·250 "	0·005~0·01 "

ルの代用として Cu-Mn-Sn 合金 (1.5~23% Mn, 4~14% Sn) が研究され良好な機械的性質を示している。一方 Ductile Steel 会社では歐洲で最初のプラネタリーロールミルを据付け低炭素鋼の熱間圧延に能率を上げている。このミルは直径 2in. の小さなワークロールが 26 個プラネタリー型に 20 in. 直径バックアップロールの周囲に占めている 2 段ロールである。バックアップロールの回転速度は 500 rpm で 900 HP モーターを使用している。又小さなワークロールはバックアップロールの周囲を自由に回転し速度は何れも 3000 rpm 以上である。プッシュロールは直径 22 in. かつて最初のころしを行い、ストリップゲージに合わせてスラブを押出す様になつていて、能力は 1hr. 10t 程度で最終ゲージは 0.187~0.040 in. である。尚、低炭素鋼以外にレーザーやスプルーニング、不銹鋼等も圧延している。因みにこのミルは独乙の Sendzimir 会社の設計によるものである。又 John Summers 会社では圧延力を測定して自動的にストリップのゲージの変化を知る方法を研究し、1.350t の荷重メーターを圧延機の上部のペアクングに設置してその目的を達している。更に引抜工業ではワイヤーの能率的流れを研究し英國鉄鋼研究協会の Sheffield の実験室ではダイスとワイヤー間の電気抵抗を測定しワイヤーの厚さを測定する方法を考案している。一方鍛造関係でロンドンの Oms 会社はピレット自体に低圧電流を通じて加熱を行い更にそれが鍛造温度に達すると自動的に水圧ラムに依つて鍛圧される様な方式を探り主に航空機部品の鍛造に利用している。

最後に非常に優秀な精密鋳造によつてミーリングカッターを製作している事であるが之は機械加工の時間節減材料の経済の点から言つて注目に値することでスイスの Ludig 製鋼会社が "Rolodur" の商名で 13% Cr, 10% W, 1.5% C と 13% Cr, 4% W, 1.4% C の 2 種の鋳造ミーリングカッターを製造した様に英國でも B.S.A. 工具会社では被覆鋳型技術によつて高速度鋼の肌焼型のものから W 系の如何なる鋼種のものも 250 lb を最高重量として鋳造出来ることになつた。これは確かに込入つたカッターや複雑な形の工具の製作に一新紀元を

画するものと言つてよい。(谷 昌博)

## 一 鐵及鋼の性質、物理冶金

**球面試料に於けるロツクウエル硬度値の補正に就て** (R. S. Sutton, R. H. Heyer: ASTM Bulletin Oct. 1953, p. 40)

この論文は ASTM のロツクウェル硬度試験機の研究に関する小委員会の研究報告である。ロツクウェル硬度値は同じ材料のものでも測定面が完全平面である場合と球面である場合とは所謂 Penetration に対する抵抗がカーベチャードに依つて減少して來るので球面の測定値に對しては理論的な補正值が加えられなければならない。従つてこの小委員会では標準のロツクウェル硬度測定方法を樹立する意味でもこの補正表に就て検討し決定しなければならなかつた。

この補正值は多くの研究者達が理論的に且実験的に決定したものに就て基礎を置かなければならぬ。勿論、従来迄に刊行されなかつたが各自の工場で実際に使用されて來た補正曲線やノモグラフや補正表はたくさんあるが、こゝでは一応刊行された材料に基礎を置くことにした。この協会として標準補正表として採用する以上は凡そ試験機に關係のある各グループから徹底的な註釈や示唆を加えられ充分に検討しつくしたものである事が必要である。

この補正值に関して研究された人達はウイルソン会社 V. E. Lysaght, Sperry Gyroscope 会社の Dav Wallace, G. E. Poole と J. Hunt, W. L. Fleishmann と General 電気会社の R. S. Jenkins 等である。

尙、小委員会では使用された方法を研究して各補正值の相違を説明しようとしたが、結局試料をグラインダーした場合の脱炭の影響とか、焼入、焼戻の影響とかを避けるために考慮を払つたのみで、材料の種類、機械の誤

差、アンビルの型、測定者間の誤差とか言つたものが肝心の補正值を読みの差で取消してしまつた様なわけで、結論としての補正是総ての研究者達に依つて示された値を平均し、硬度補正值と試料の直径とが均された数値をとる様にその平均を調整したまでである。次に示す表は C スケールに基盤を置くもので A 及び D スケールにも理論的に適用出来る。試料の直径は表を簡単にするために 1/8~1/4 in. の間にとつた。

各種直径の球面試料に加うべきロツクウェル補正值  
(C, A, D スケール)

ダイヤルの 読み in.	1/4	3/8	1/2	5/8	3/4	7/8	1	1 1/4	1 1/2
20.....	6.0	4.5	3.5	2.5	2.0	1.5	1.5	1.0	1.0
25.....	5.5	4.0	3.0	2.5	2.0	1.5	1.0	1.0	1.0
30.....	5.0	3.5	2.5	2.0	1.5	1.5	1.0	1.0	0.5
35.....	4.0	3.0	2.0	1.5	1.5	1.0	1.0	0.5	0.5
40.....	3.5	2.5	2.0	1.5	1.0	1.0	1.0	0.5	0.5
45.....	3.0	2.0	1.5	1.0	1.0	1.0	0.5	0.5	0.5
50.....	2.5	2.0	1.5	1.1	1.0	0.5	0.5	0.5	0.5
55.....	2.0	1.5	1.0	1.0	0.5	0.5	0.5	0.5	0
60.....	1.5	1.0	1.0	0.5	0.5	0.5	0.5	0	0
65.....	1.5	1.0	1.0	0.5	0.5	0.5	0.5	0	0
70.....	1.0	1.0	0.5	0.5	0.5	0.5	0.5	0	0
75.....	1.0	0.5	0.5	0.5	0.5	0.5	0	0	0
80.....	0.5	0.5	0.5	0.5	0.5	0	0	0	0
85.....	0.5	0.5	0.5	0	0	0	0	0	0
90.....	0.5	0	0.5	0	0	0	0	0	0

(谷 昌博)

## 一 化 學 分 析 一

### 鉄鐵及び鑄鐵の組織成分の分析について

(W. Koch, J. Bruch: Archiv für das Eisenhüttenwesen, 24 (1953) Heft 11/12, 457)

種々の銑鐵及び鑄鐵について電解法を用いてフェライトを溶解し黒鉛及びカーバイドと少量の酸化物、硫化物、窒化物を遊離し、その遊離物から黒鉛部とカーバイド部に分けるため遠心分離法により比重 2.4 以下のものを黒鉛部とし 2.96 以上をカーバイド部として採集した。こ

第1表 フェライトとカーバイド部の組成

元 素	試料 1 Hämatit (普通破面)		試料 2 Hämatit (普通破面)		試料 3 Stürzelberge 特殊鋼		試料 4 D. K. 銑		試料 5 スエーデン銑		試料 6 高磷鑄鐵		試料 7 球狀鑄鐵	
	フ エ ラ イト %	カ ー バ イ ド %	フ エ ラ イト %	カ ー バ イ ド %	フ エ ラ イト %	カ ー バ イ ド %	フ エ ラ イト %	カ ー バ イ ド %	フ エ ラ イト %	パ ー ト ラ イト %	フ エ ラ イト %	パ ー ト ラ イト %	フ エ ラ イト %	パ ー ト ラ イト %
	%	%	%	%	%	%	%	%	%	%	%	%	%	%
Mn	0.57	6.01	0.76	3.50	0.23	2.22	0.35	3.29	0.59	3.94	0.25	2.52	0.18	1.35
P	0.018	0.58	0.043	0.68	0.015	0.05	0.020	0.32	0.019	0.03	0.079	4.85	0.008	0.06
Cr	0.134	1.28	0.117	1.16	0.014	0.06	0.008	0.14	0.011	0.02	0.035	0.88	0.012	0.13
Ti	—	3.60	—	2.81	—	—	—	—	—	—	—	1.89	—	—
Si	0.76	—	0.59	—	0.47	—	0.8	—	0.57	—	3.82	—	0.50	—
Al	0.14	—	0.04	—	0.08	—	0.09	—	0.04	—	0.08	—	0.05	—
N	0.07	—	0.08	—	0.06	—	0.06	—	0.03	—	0.08	—	0.04	—

第2表 黒鉛部の成分

試 料	Fe <sub>3</sub> O %	Fe %	Si %	Mn %	P %	Cr %	V %	Ti %	Al %	Ca %	Mg %
1. Hämatit 鋸 (普通破面)	0.5	2.3	0.58	0.23	0.21	0.03	<0.6 · 10 <sup>-3</sup>	0.09	0.13	0.04	0.01
2. Hämatit 鋸 (不均一破面)	1.1	3.7	0.45	0.27	0.04	0.04	<0.7 · 10 <sup>-3</sup>	0.21	0.11	0.05	0.01
3. 特殊鋸 (Stürzelberg)	0.5	1.8	0.22	0.02	0.006	<0.002	<0.002	<0.2 · 10 <sup>-3</sup>	0.05	0.07	0.004
4. D. K. 鋸	0.2	2.1	0.37	0.19	—	0.007	0.02	0.54	0.21	0.11	0.01
5. スエーデン鋸	1.1	2.7	0.23	0.26	0.47	—	—	—	0.08	0.07	0.007
6. 高磷鋸	1.5	2.9	0.10	0.60	0.08	<0.001	—	0.30	0.19	0.08	0.007
7. 球狀鑄鐵	0.1	2.1	0.39	0.16	0.06	<0.8 · 10 <sup>-3</sup>	—	—	0.16	0.09	0.07

の様にして分けたフェライトとカーバイド部及び黒鉛部の分析組成は第1表及び第2表に示す。

上表よりカーバイド部にはフェライト部に較べてN, P高く又 Al も多いことが判る。Si は逆にフェライト部に多い。ただ合鍊鐵とスエーデン鐵ではカーバイド部の Si 含量が供試料中の Si% より高いがその理由は判らないと述べている。黒鉛部には Si 0.1%~0.85% であるがこれは SiO<sub>2</sub> の比重が低いために分離されずに入つたものと考えられる。Mn, Ti も黒鉛部に多いが

Ti は TiC として黒鉛にかこまれているものと思われる。黒鉛部中に Al がどの様な結合をしているか判らぬが 0.05~0.2% の Al を含むことがある。球状黒鉛鉄では Mg 黒鉛の部分にそう多くないことが判つた。最後に分離せる黒鉛部とカーバイド部及び電解液中(フェライト)の量より計算せる元素%と供試料中の元素%を比較して殆ど一致し大きな誤差のないことを示している。(鳥取友治郎)

### 正 誤 表

#### 「鐵鋼便覽」記事中訂正

本協会編(昭和 29 年 4 月 25 日丸善株式会社発行)“鐵鋼便覽”磁気探傷法の記事中下記の通り訂正致します。

頁	正	誤
808 及 809 表 9.15 “磁器探傷機の性能”の 最上段右	直流(残留磁気)探傷法	マグナフラックス又は横川式、島津製 磁器探傷機